

تحلیل ناپایداری دینامیکی بال پسگرا در حوزه زمان

بهزاد قدیری^{۱*}، مانی رازی^۲، صباح حمیدی^۳

۱- استادیار، بخش مهندسی مکانیک، دانشکده فنی و مهندسی، دانشگاه تربیت مدرس

۲- دانشجوی کارشناسی ارشد، بخش مهندسی مکانیک، دانشکده فنی و مهندسی، دانشگاه تربیت مدرس

۳- دانشجوی کارشناسی ارشد، بخش مهندسی مکانیک، دانشکده فنی و مهندسی، دانشگاه تربیت مدرس

*تهران، صندوق پستی ۱۴۱۱۵-۱۱۱

ghadirib@modares.ac.ir

(دریافت مقاله: آبان ۱۳۸۵، پذیرش مقاله: آبان ۱۳۸۷)

چکیده- در این مقاله تحلیل آیروالاستیک خطی بال پسگرا در حوزه زمان با دو درجه آزادی در جریان تراکمناپذیر مورد بررسی قرار می‌گیرد. معادلات حرکت بال الاستیک، با در نظر گرفتن آن به صورت تیر یکسر درگیر و با استفاده از معادلات لاگرانژ در حوزه زمان استخراج شده و اتصال بال در ریشه، صلب فرض شده است. با در نظر گرفتن مودهای ارتعاشی تیر یکسر درگیر و با به کار گرفتن تئوری نوارهای باریک، نیروها و ممانهای آیرودینامیکی وارد شده به بال پسگرا در جریان سیال پتانسیل غیر دائم و تراکمناپذیر به دست آمده است. معادلات آیروالاستیک به صورت بی‌بعد استخراج و به روشنی عددی حل شده است. نتایج حاصل از روش به کار رفته برای چند بال پسگرای مورد مطالعه، با نتایج تجربی و دیگر مراجع مقایسه شده و تطابق مناسبی بین آنها مشاهده شده است.

کلید واژگان: آیروالاستیستیک خطی، بال پسگرا، حوزه زمان، روش مودهای فرضی، فلاوتر.

استفاده از مدلهای آیرودینامیک تحلیلی برای شرایط خاصی از جریان مانند جریان تراکمناپذیر غیر دائم از اهمیت خاصی در ساده‌سازی حل و کاهش زمان محاسبه برخوردار است. در سال ۱۹۳۵ تقدیر سن معادلات آیروالاستیک حاکم را برای ایرفویل با دو درجه آزادی در جریان تراکمناپذیر غیر دائم در حوزه فرکانس ارائه کرد [۱]. روش‌های حل مختلفی برای این معادلات ارائه شده است [۲].

۱- مقدمه

دانش آیروالاستیستیک به عنوان فصل مشترک علوم آیرودینامیک، الاستیستیک و دینامیک تعریف می‌شود. یکی از مسائل مهم پیش روی متخصصان آیروالاستیستیک، تعیین مرز ناپایداری فلاوتر است. از آنجاکه حل دقیق و کامل معادلات آیروالاستیک حاکم در تمامی حوزه‌های جریان، نیازمند تلفیق روش‌های المان محدود و دینامیک سیالات محاسباتی است، لذا

رونگ - کوتای مرتبه چهار محاسبه شده است. سرعت ناپایداری بال، با مطالعه پاسخ دینامیکی سیستم مورد بحث در سرعتهای مختلف به دست می‌آید. نتایج حاصل از حل عددی این معادلات در حوزه زمان برای چهار نمونه، با نتایج تجربی [۷] مقایسه شده است. در پایان اثر پارامترهای مختلف بر سرعت فلاتر مطالعه شده است.

۲- به دست آوردن معادلات حاکم بر بال پسگرا در حوزه زمان

هنگامی که بال در معرض جریان هوا قرار می‌گیرد، به علت وجود نیروها و ممان‌های آبرو دینامیکی، حرکت‌های ارتعاشی در خمین و پیچش در آن به وجود می‌آید. اگر سرعت هوا کم باشد، این ارتعاشات با گذشت زمان میرا می‌شوند، اما اگر سرعت هوا از مقدار مشخصی بالاتر رود، ممکن است بر دامنه ارتعاشات افزوده و موجب شکست بال شود. این پدیده به عنوان فلاتر در بال شناخته می‌شود و سرعتی که در آن، این پدیده روی می‌دهد، سرعت فلاتر نام دارد. در این مقاله برای بررسی پدیده فلاتر، فرضیات زیر در مدلسازی مسئله در نظر گرفته می‌شود:

- ۱- بال دارای زاویه پسگرایی Λ است.
- ۲- بال الاستیک فرض می‌شود.

۳- جریان سیال تراکم‌ناپذیر بوده و معادله حاکم جریان پتانسیل غیردامن برای اغشاشات کوچک است.

۴- جایه‌جایی با دو مؤلفه خمین و پیچش توصیف می‌شود. یعنی بال در حین جایه‌جایی تاب برنمی‌دارد و شکل وتر بال تغییر نمی‌کند.

۵- بال مورد نظر دو بعدی و به شکل تیر یک سر درگیر با اتصال صلب به بدنه در ریشه بوده و طول وتر بال از ریشه تا نوک بال تغییر نمی‌کند.

۶- محور الاستیک به صورت پیوسته فرض می‌شود.

اولین بار در سال ۱۹۴۷ کولار پدیده‌های آبرو الاستیک را در بال پسگرا مطالعه کرد. در همین زمان دیدریچ و بودیانسکی نیز بررسی کاملی را در زمینه ناپایداری در بال پسگرا انجام دادند [۳].

در حوزه زمان، معادلات حاکم بر بال در جریان تراکم‌ناپذیر با استفاده از تابع واگز توسعه فانگ استخراج شده است. [۴] این معادلات توسعه لی و همکاران [۵] به صورت عددی حل شده است. قدیری و رازی [۶] بررسی کاملی را در زمینه تحلیل خطی آبرو الاستیک ایرفویل با دو درجه آزادی در هر دو حوزه زمان و فرکانس انجام دادند. از سوی دیگر پویل و پرایس [۷] تحلیل کاملی را در زمینه تعیین سرعت ناپایداری ایرفویل با دو درجه آزادی در جریان آشفته انجام دادند. آنان با استفاده از تابع واگز، مدل ریاضی آشفتگی عرضی و همچنین با استفاده از تابع کاسنر، معادلات حاکم را استخراج کردند.

در بحث تحلیل آبرو الاستیک بال، بارمی و همکاران [۸] معادلات حاکم بر بال پسگرا با دو درجه آزادی را در جریان تراکم‌ناپذیر و در حوزه فرکانس استخراج کردند. آنان با استفاده از حل معادلات به دست آمده، سرعت ناپایداری انواع مختلفی از بال‌های پسگرا را به دست آورده و با نتایج تجربی مقایسه کردند. قدیری و اسلامی [۹] و همچنین قدیری و رازی [۱۰] معادلات آبرو الاستیک حاکم بر بال غیرپسگرا در حوزه زمان با استفاده از روش‌های نوارهای باریک و مدهای فرضی استخراج و به روش عددی رونگ - کوتای مرتبه چهار این معادلات را حل کردند. در این مقالات، اعتبارسنجی نتایج از طریق مقایسه با داده‌های تجربی انجام شده است.

مقاله حاضر در واقع توسعه بحث تحلیل خطی ارائه شده در [۱۰] است. در این مقاله معادلات آبرو الاستیک حاکم بر بال پسگرا در حوزه زمان استخراج و سرعت فلاتر برای چند مورد بال پسگرا با استفاده از روش عددی

معادلات لاگرانژ برای ارتعاشات آزاد بال در حالت کلی به صورت زیر است:

$$\frac{d}{dt} \left(\frac{\partial T}{\partial \dot{q}_i} \right) + \frac{\partial V}{\partial q_i} - \frac{\partial T}{\partial q_i} + \frac{\partial D}{\partial \dot{q}_i} = Q_i \quad (1)$$

با در نظر گرفتن بال پسگرا با دو درجه آزادی α و h به ترتیب به عنوان تغییر مکان کلی پیچش و خمشن و نوشتن معادلات انرژی جنبشی، انرژی پتانسیل و انرژی میرابی سازه‌ای برای بال با دو درجه آزادی که به ترتیب با V ، T و D نشان داده می‌شوند، داریم:

$$T = \frac{1}{2} \int_0^S \left[m \left(\dot{h} + b_n x_\alpha \dot{\alpha} \right)^2 + I_{C,G} \dot{\alpha}^2 \right] dy \quad (2)$$

$$V = \frac{1}{2} \int_0^S \left[EI \left(\frac{\partial h}{\partial y} \right)^2 + GJ \left(\frac{\partial \alpha}{\partial y} \right)^2 \right] dy \quad (3)$$

$$D = \frac{1}{2} \int_0^S \left[C_h \dot{h}^2 + C_\alpha \dot{\alpha}^2 \right] dy \quad (4)$$

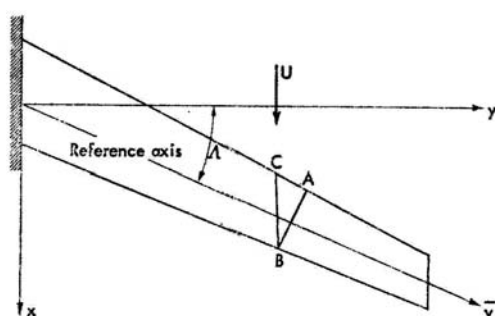
در این روابط، C_h ، C_α ، $I_{C,G}$ ، EI ، GJ ، m و b_n به ترتیب ضریب میرابی سازه‌ای برای خمشن و پیچش، سختی پیچشی، سختی خمشنی، ممان اینرسی حول مرکز جرم، جرم بر واحد طول بال و نصف طول وتر در راستای عمود بر محور الاستیک از مرکز جرم بال است.

همان‌گونه که در شکل ۲ مشاهده می‌شود، x_α فاصله بی‌بعد بین مرکز ثقل و محور الاستیک، a_h فاصله بی‌بعد محور الاستیک تا وسط وتر بال و b نصف طول وتر است. رابطه b_n با b چنین است:

$$b_n = b \cos \Lambda \quad (5)$$

۷- از آثار غیرخطی سازه‌ای و آیروдинامیکی صرف‌نظر می‌شود. همان‌گونه که در شکل ۱ مشاهده می‌شود، در بال‌های پسگرا محور الاستیک، بر بدنه هواپیما عمود نیست. در این حالت تحلیل خمشن و پیچش نسبت به بال مستقیم و غیرپسگرا پیچیده‌تر بوده و زاویه پسگرا بیانی Λ ، تأثیر زیادی بر نیرو و ممان‌های آیروdinamیکی وارد به بال و در نتیجه بر رفتار آیروالاستیک آن خواهد داشت.

با توجه به شکل ۱ می‌توان دریافت که در جهت جریان، زاویه حمله نسبت به بال غیرپسگرا کاهش می‌یابد. اگر در این بال نیرویی روبه بالا وارد شود، نقاط A و B تقریباً به یک میزان جابه‌جایی خواهد داشت. به‌وضوح دیده می‌شود که جابه‌جایی این نقاط نسبت به نقطه C بیشتر است. بنابراین مقطع BC که موازی جریان است، زاویه حمله کمتری خواهد داشت. در نتیجه نیروی لیفت در این مقطع کاهش می‌یابد. هنگامی که بال در معرض ممان پیچشی مثبت قرار می‌گیرد، این نیروی لیفت منفی، تأثیر مثبتی بر پایداری خواهد داشت و سرعت فلاتر در بال را افزایش می‌دهد. در نتیجه این کار، خمشن در بال پسگرا تمایل دارد که مرکز فشار نیروهای آیروdinamیکی را به داخل صفحه انتقال دهد، در حالی که در بال پیشگرا، خمشن تمایل دارد که مرکز فشار نیروهای آیروdinamیکی را به خارج از صفحه انتقال دهد [۳].



شکل ۱ نمای کلی بال پسگرا با دید از بالا

معادله (۱) برای بال پسگرای با دو درجه آزادی در خمثش و پیچش داریم:

$$\begin{aligned} \frac{d}{dt}\left(\frac{\partial T}{\partial h}\right) - \frac{\partial T}{\partial h} + \frac{\partial V}{\partial h} + \frac{\partial D}{\partial h} &= Q_h \\ \frac{d}{dt}\left(\frac{\partial T}{\partial \dot{\alpha}}\right) - \frac{\partial T}{\partial \dot{\alpha}} + \frac{\partial V}{\partial \dot{\alpha}} + \frac{\partial D}{\partial \dot{\alpha}} &= Q_\alpha \end{aligned} \quad (10)$$

با جایگذاری روابط (۸) و (۹) در معادلات (۲)، (۳) و (۴) روابط زیر را برای انرژی جنبشی، پتانسیل و میرایی بال پسگرا می‌توان نوشت:

$$\begin{aligned} T &= \frac{A_r}{2} \left(S m \dot{h} \right) + \frac{A_t}{2} Sm \left(b_n x_\alpha \dot{\alpha} \right) + \\ &A_s \left(Sm b_n x_\alpha \dot{h} \dot{\alpha} \right) + \frac{A_e}{2} SI_{C,G} \dot{\alpha} \end{aligned} \quad (11)$$

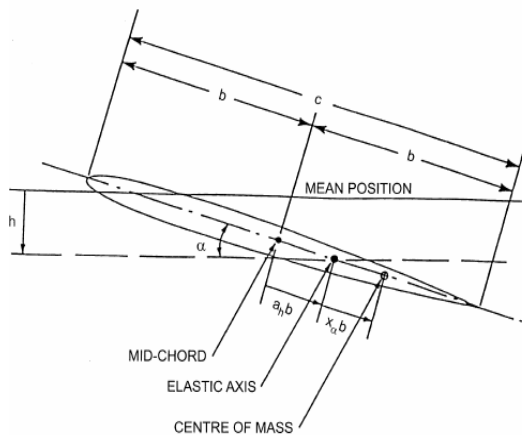
$$V = \frac{A_r}{2} \left(\frac{EI}{S} h \right) + \frac{A_t}{2} \left(\frac{GJ}{S} \alpha \right) \quad (12)$$

$$D = \frac{A_r}{2} SC_h \dot{h} + \frac{A_t}{2} SC_\alpha \dot{\alpha} \quad (13)$$

در این روابط، ضرایب A_r تا A_e ثابت‌های وابسته به مودهای فرضی است. روابط این ضرایب در معادله (۳۳) ارائه شده است. در رابطه (۱۰)، Q_h و Q_α نیروهای تعیین یافته به ترتیب مربوط به درجات آزادی خمثش و پیچش است که با استفاده از قانون کار مجازی برای مقطع بال به دست می‌آید [۸]:

$$\begin{aligned} W &= -L \cdot F_h(\eta) \delta h + M_{E,A} \cdot F_\alpha(\eta) \delta \alpha, \\ Q_h &= \frac{\partial W}{\partial \delta h} = -L \cdot F_h(\eta) \\ Q_\alpha &= \frac{\partial W}{\partial \delta \alpha} = M_{E,A} \cdot F_\alpha(\eta) \end{aligned} \quad (14)$$

در این رابطه، L و $M_{E,A}$ به ترتیب نیروی برا و ممان حول محور الاستیک است. با انتگرالگیری بر روی طول



شکل ۲ نمای کلی مقطع بال پسگرا و فواصل بیان

با مدل‌سازی بال به صورت تیر یک سر درگیر، مودهای فرضی برای خمثش و پیچش را می‌توان به صورت زیر نوشت [۸، ۲]:

$$F_h(\eta) = K_1 \left\{ \left(\frac{\sinh \beta_1 + \sin \beta_1}{\cosh \beta_1 + \cos \beta_1} \right) (\cos(\beta_1 \eta) - \cosh(\beta_1 \eta)) + \sinh(\beta_1 \eta) - \sin(\beta_1 \eta) \right\} \quad (1)$$

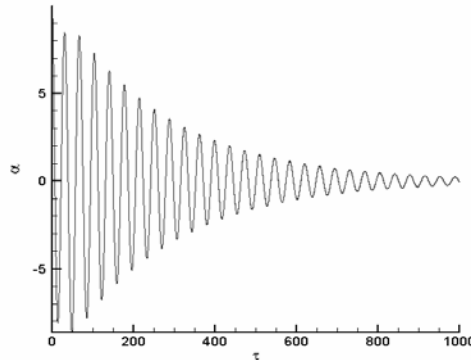
$$F_\alpha(\eta) = K_2 \sin(\beta_2 \eta) \quad (2)$$

در این روابط، $\beta_1 = 0.5969\pi$ و $\beta_2 = 0.5\pi$ در نظر گرفته می‌شود. η مختصه بیان بعد بال است ($\eta = \bar{y}/S$) و K_1 و K_2 اعدادی ثابت است. با ترکیب حرکت وابسته و غیروابسته به زمان برای بال داریم:

$$h = F_h(\eta)h(t) \quad (3)$$

$$\alpha = F_\alpha(\eta)\alpha(t) \quad (4)$$

در این روابط h و α توابع وابسته به زمان تغییر مکان خمثشی و پیچشی بوده و توابع مستقل از زمان خمثش و پیچش همان مودهای فرضی هستند که از ضرب این دو تابع، تغییر مکان کلی به دست می‌آید [۸]. با نوشت

شکل ۳ نوسان پیچشی بال مدل ۲- B در سرعت

$$U = 103/301 \text{ (m/s)}$$

فلاتر به دست آمده برابر $103/908$ است.

در به دست آوردن این معادله، همچنین فرض شده که تحریک برای مدت زمانی طولانی وجود دارد به طوری که پاسخ گذراي سیستم مستهلک شده و سیستم به حالت پایای خود می‌رسد. ضریب $e^{\varepsilon\tau}$ در رابطه (۱۷)، ضریب همگرایی است. در اینجا ابتدا حرکت واگرای سیستم را در نظر گرفته اما مرتبه آن را به سمت صفر میل داده ایم [۴]. به راحتی می‌توان نتیجه گرفت که در این حالت حرکت ایرفویل نیز به صورت تناوبی خواهد بود:

$$h = h e^{ik\tau} \quad (18)$$

$$\alpha = \alpha e^{ik\tau} \quad (19)$$

در معادلات فوق τ زمان بی بعد $= \frac{U_n t}{b_n}$ و $\phi(\tau)$ تابع واگر، است که در مقاله حاضر برای این تابع از تقریب جونز به صورت زیر استفاده شده است [۵]:

$$\phi(\tau) = 1 - \psi_1 e^{-\varepsilon_1 \tau} - \psi_2 e^{-\varepsilon_2 \tau} \quad (20)$$

بال (S) نیروهای تعیین یافته مربوط به خمش و پیچش را برای کل بال به صورت زیر می‌توان به دست آورد:

$$Q_h = -S \int L \cdot F_h(\eta) \cdot d\eta \quad (15)$$

$$Q_\alpha = S \int M_{EA} \cdot F_\alpha(\eta) \cdot d\eta$$

روابط ارائه شده در [۸] برای نیرو و ممان آیرودینامیکی برای مقطع بال پسگرا در حوزه فرکانس به صورت زیر است:

$$(16)$$

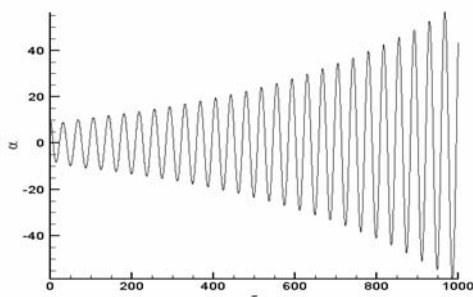
$$L = 2\pi \rho U_n b_n C(k) \left[\dot{h} + U_n \alpha + U_n \frac{\partial h}{\partial y} \tan \Lambda \right. \\ \left. + b_n \left(\frac{1}{\gamma} - a_h \right) \left(\dot{\alpha} + U_n \frac{\partial \alpha}{\partial y} \tan \Lambda \right) \right] + \pi \rho b_n \left[\ddot{h} + U_n \dot{\alpha} + 2U_n \frac{\partial \dot{h}}{\partial y} \tan \Lambda \right. \\ \left. + U_n \frac{\partial \alpha}{\partial y} \tan \Lambda + U_n \frac{\partial^2 h}{\partial y^2} \tan^2 \Lambda \right] - \pi \rho b_n \left[a_h \left[\dot{\alpha} + 2U_n \frac{\partial \dot{\alpha}}{\partial y} \tan \Lambda \right. \right. \\ \left. \left. + U_n \frac{\partial^2 \alpha}{\partial y^2} \tan^2 \Lambda \right] \right],$$

$$M_{EA} = 2\pi \rho U_n b_n \left(\frac{1}{\gamma} + a_h \right) C(k) \left[\dot{h} + U_n \alpha + U_n \frac{\partial h}{\partial y} \tan \Lambda \right. \\ \left. + b_n \left(\frac{1}{\gamma} - a_h \right) \left(\dot{\alpha} + U_n \frac{\partial \alpha}{\partial y} \tan \Lambda \right) \right] - \pi \rho U_n b_n \left[\left(\frac{1}{\gamma} - a_h \right) \dot{\alpha} + \frac{1}{\gamma} U_n \frac{\partial \alpha}{\partial y} \tan \Lambda \right] \\ + \pi \rho b_n \left[\ddot{h} + 2U_n \frac{\partial \dot{h}}{\partial y} \tan \Lambda + U_n \frac{\partial \alpha}{\partial y} \tan \Lambda + U_n \frac{\partial^2 h}{\partial y^2} \tan^2 \Lambda \right] \\ - \pi \rho b_n \left(\frac{1}{\gamma} + a_h \right) \left[\dot{\alpha} + 2U_n \frac{\partial \dot{\alpha}}{\partial y} \tan \Lambda + U_n \frac{\partial^2 \alpha}{\partial y^2} \tan^2 \Lambda \right],$$

در اینجا ρ و U_n به ترتیب چگالی هوا و مؤلفه عمودی سرعت سیال بر بال پسگرا است. $C(k)$ تابع تودرسن وابسته به k -فرکانس کاهش یافته گردابه‌های جریان اطراف مقطع بال-است. از سوی دیگر فانگ با در نظر گرفتن تحریک تناوبی برای ایرفویل با درجه آزادی و با فرض نوسانات متناسب برای آن، تعریف تابع تودرسن را بر حسب تابع واگر به صورت زیر ارائه کرد [۴]:

$$\lim_{\varepsilon \rightarrow +} ik \int_{-\infty}^{\tau} \phi(\tau - \tau') e^{ik\tau + \varepsilon\tau'} d\tau' = C(k) e^{ik\tau} \quad (17)$$

$$\begin{aligned} & \lim_{\varepsilon \rightarrow 0^+} \int_{-\infty}^{\tau} \phi(\tau - \tau_*) U_n \left[\frac{h''}{b_n} + \alpha' + \left(\frac{1}{\gamma} - a_h \right) \alpha'' \right. \\ & \quad \left. + \left(\frac{\partial h'}{\partial y} + b_n \left(\frac{1}{\gamma} - a_h \right) \frac{\partial \alpha'}{\partial y} \right) \tan \Lambda \right] e^{i\varepsilon\tau} d\tau. \quad (21) \\ & = C(k) U_n \left[\frac{h'}{b_n} + \alpha + \left(\frac{1}{\gamma} - a_h \right) \alpha' \right. \\ & \quad \left. + \left(\frac{\partial h}{\partial y} + b_n \left(\frac{1}{\gamma} - a_h \right) \frac{\partial \alpha}{\partial y} \right) \tan \Lambda \right] \end{aligned}$$



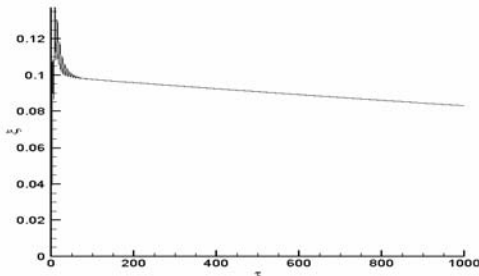
با اعمال حد فوق و با نوشتن طرف راست معادله فوق بر حسب مشتقات زمانی نسبت به t ، به رابطه مناسبی برای نوشتن معادلات حاکم بر سیستم در حوزه زمان دست می‌یابیم:

$$\begin{aligned} & \int_{-\infty}^{\tau} \phi(\tau - \tau_*) U_n \left[\frac{h''}{b_n} + \alpha' + \left(\frac{1}{\gamma} - a_h \right) \alpha'' \right. \\ & \quad \left. + \left(\frac{\partial h'}{\partial y} + b_n \left(\frac{1}{\gamma} - a_h \right) \frac{\partial \alpha'}{\partial y} \right) \tan \Lambda \right] d\tau. \quad (22) \\ & = C(k) [h + U_n \alpha + b_n \left(\frac{1}{\gamma} - a_h \right) \dot{\alpha} \\ & \quad + U_n \left(\frac{\partial h}{\partial y} + b_n \left(\frac{1}{\gamma} - a_h \right) \frac{\partial \alpha}{\partial y} \right) \tan \Lambda] \end{aligned}$$

مشاهده می‌شود که با تعویض عبارت معادل طرف راست معادله (22) در معادله (16) با عبارت سمت چپ رابطه (22)، عبارتهای زیر برای نیرو و ممان آبرودینامیک حول محور الاستیک مقطع بال پسگرا در جریان تراکم ناپذیر به دست می‌آید:

$$\begin{aligned} L(t) &= \pi \rho b_n \left(\ddot{h} + U_n \dot{\alpha} + U_n \tan \Lambda \frac{\partial \dot{h}}{\partial y} + U_n \tan \Lambda \frac{\partial^2 h}{\partial y^2} + U_n \tan \Lambda \frac{\partial \alpha}{\partial y} \right) \\ &\quad - \pi \rho b_n a_h \left(\ddot{\alpha} + U_n \tan \Lambda \frac{\partial \dot{\alpha}}{\partial y} + U_n \tan \Lambda \frac{\partial^2 \alpha}{\partial y^2} \right) \\ &\quad + \gamma \pi \rho U_n b_n \left(w(\cdot) \phi(\tau) + \int_{\tau}^{\infty} \frac{dw(\sigma)}{d\sigma} \phi(\tau - \sigma) d\sigma \right) \quad (23) \end{aligned}$$

شکل ۴ نوسان پیچشی بال مدل ۲-۳۰B در سرعت $U = 104/285 \text{ (m/s)}$ (مطابق جدول ۲، سرعت فلاتر به دست آمده برابر $103/908$ است).



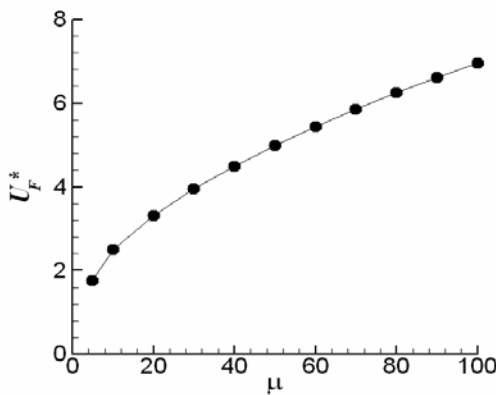
شکل ۵ نوسان خمثی بال مدل ۲-۵۰A از جدول ۱ در سرعت $U = 44/908 \text{ (m/s)}$ (مطابق جدول ۲، سرعت واگرایی به دست آمده برابر $45/044$ است).

$\psi_1 = 0/165, \psi_2 = 0/335, \epsilon_1 = 0/0455, \epsilon_2 = 0/3$ همچنین h و α ثوابت مختلطی است که قدر مطلق آنها معادل با دامنه نوسانات سیستم به ترتیب در درجات آزادی خمث و پیچش است با ضرب کردن عبارتهای زیر:

$$\begin{aligned} & \frac{i}{b_n} k U_n h + U_n \alpha + ik U_n \left(\frac{1}{\gamma} - a_h \right) \alpha' + U_n \left(\frac{\partial h}{\partial y} \right. \\ & \quad \left. + b_n \left(\frac{1}{\gamma} - a_h \right) \frac{\partial \alpha}{\partial y} \right) \tan \Lambda \end{aligned}$$

در دو طرف معادله (17) و با در نظر گرفتن روابط (18) و (19) و همچنین با فرض این که b ، a و k مستقل از زمان باشند، خواهیم داشت:

در اين معادلات علامت پرایم نشان دهنده مشتق نسبت به زمان بی بعد و نقطه نشان دهنده مشتق نسبت به زمان مطلق است.



شکل ۷ تغییرات سرعت بی بعد فلاتر ایرفویل به ازای تغییرات μ (نسبت جرمی ایرفویل به هوا در واحد طول)، نتایج [۲]، نتایج حل عددی معادلات حاصل.

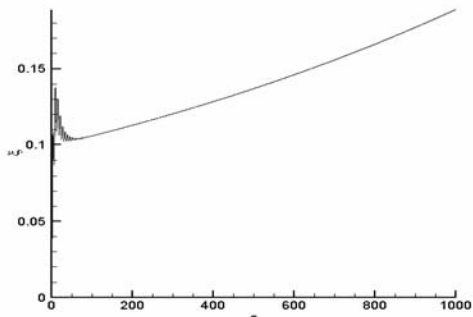
$$(\bar{\omega} = \frac{\sqrt{10}}{10}, a_h = -0/3, r_\alpha = 0/5, x_\alpha = 0)$$

با در نظر گرفتن معادله (۱۰) و با استفاده از معادلات (۱۱) تا (۱۳) و همچنین (۲۳) و (۲۴) در آن و با اعمال تئوري نوارهاي باريک، روش مودهای فرضي و انجام مقدار زيادي عمليات جبری، معادلات نهايی حاكم بر بال پسگرا در حوزه زمان را به صورت بی بعد زير می توان ارائه کرد:

$$(27) \quad c_1 \xi'' + c_2 \alpha'' + c_3 \xi' + c_4 \alpha' + c_5 \xi + c_6 \alpha + c_7 w_1 + c_8 w_2 + c_9 w_3 + c_{10} w_4 + A_r \left(\frac{\bar{\omega}}{U^*} \right) \xi = f(\tau)$$

$$(28) \quad d_1 \xi'' + d_2 \alpha'' + d_3 \alpha' + d_4 \alpha + d_5 \xi' + d_6 \xi + d_7 w_1 + d_8 w_2 + d_9 w_3 + d_{10} w_4 + A_i \left(\frac{1}{U^*} \right) \alpha = g(\tau)$$

$$M_{E.A}(t) = \pi \rho b_n^r a_h \left(\begin{array}{l} \ddot{h} + U_n \tan \Lambda \frac{\partial h}{\partial y} + U_n \tan \Lambda \frac{\partial \dot{h}}{\partial y} + \\ U_n \tan \Lambda \frac{\partial \alpha}{\partial y} \\ - \pi \rho b_n^i \left(\frac{1}{\gamma} + a_h \right) \dot{\alpha} + U_n \tan \Lambda \frac{\partial \dot{\alpha}}{\partial y} + U_n \tan \Lambda \frac{\partial \alpha}{\partial y} \\ - \pi \rho U_n b_n^r \left[\left(\frac{1}{\gamma} - a_h \right) \dot{\alpha} + \frac{1}{\gamma} U_n \tan \Lambda \frac{\partial \alpha}{\partial y} \right] \\ + 2\pi \rho U_n b_n^r \left(\frac{1}{\gamma} + a_h \right) \left(w(\cdot) \phi(\tau) + \int \frac{dw(\sigma)}{d\sigma} \phi(\tau - \sigma) d\sigma \right) \end{array} \right) \quad (24)$$



شکل ۶ نوسان خمی بال مدل ۲-۵۰A در سرعت $U = 45/362 (m/s)$ (طبق جدول ۲، سرعت واگرایی حاصل برابر $45/044$ است).

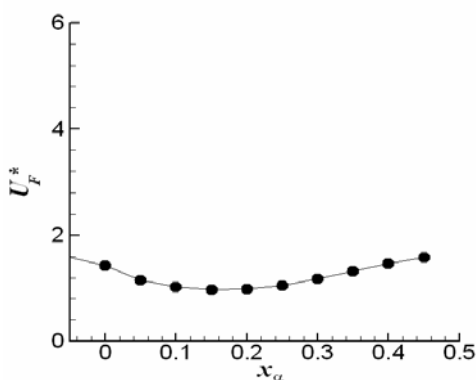
در به دست آوردن اين معادلات، τ به عنوان زمان آغاز حرکت فرض شده است. در اينجا سرعت فروروزش (سرعت جريان عمود بر بال در فاصله ربع طول وتر بال از لبه فرار) يا $w(t)$ برای بال پسگرا به صورت زير است [۸]:

$$(25) \quad w(t) = b_n \left(\frac{1}{\gamma} - a_h \right) \dot{\alpha} + U_n \alpha + \dot{h} + U_n \frac{\partial h}{\partial y} \tan \Lambda + b_n \left(\frac{1}{\gamma} - a_h \right) U_n \frac{\partial \alpha}{\partial y} \tan \Lambda$$

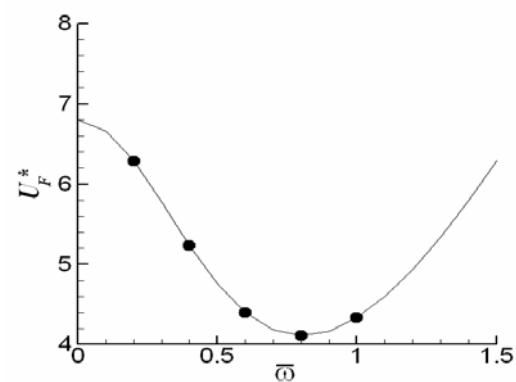
و همچنین بر حسب زمان بی بعد داريم:

$$(26) \quad w(\tau) = U_n \left[\frac{h''}{b_n} + \alpha' + \left(\frac{1}{\gamma} - a_h \right) \alpha'' + \left(\frac{\partial h'}{\partial y} + b_n \left(\frac{1}{\gamma} - a_h \right) \frac{\partial \alpha'}{\partial y} \right) \tan \Lambda \right]$$

$$\begin{aligned} A_r &= \int \left[\frac{df_\alpha(\eta)}{d\eta} \right]^\tau \cdot d\eta, \\ A_r &= \int [f_h(\eta)]^\tau \cdot d\eta, \\ A_r &= \int [f_\alpha(\eta)]^\tau \cdot d\eta, \\ A_s &= \int [f_h(\eta) \cdot f_\alpha(\eta)] \cdot d\eta, \\ A_s &= \int \left[f_h(\eta) \cdot \frac{df_h(\eta)}{d\eta} \right] d\eta, \\ A_v &= \int \left[f_h(\eta) \cdot \frac{df_\alpha(\eta)}{d\eta} \right] d\eta, \\ A_k &= \int \left[f_\alpha(\eta) \cdot \frac{df_h(\eta)}{d\eta} \right] d\eta, \\ A_k &= \int \left[f_\alpha(\eta) \cdot \frac{df_\alpha(\eta)}{d\eta} \right] d\eta, \\ A_{v_1} &= \int \left[f_h(\eta) \cdot \frac{d^r f_h(\eta)}{d\eta^r} \right] d\eta, \\ A_{v_1} &= \int \left[f_h(\eta) \cdot \frac{d^r f_\alpha(\eta)}{d\eta^r} \right] d\eta, \\ A_{v_1} &= \int \left[f_\alpha(\eta) \cdot \frac{d^r f_h(\eta)}{d\eta^r} \right] d\eta, \\ A_{v_1} &= \int \left[f_\alpha(\eta) \cdot \frac{d^r f_\alpha(\eta)}{d\eta^r} \right] d\eta, \end{aligned}$$



شکل ۸ تغییرات سرعت بی بعد فلاتر ایرفویل به ازای تغییرات



شکل ۹ تغییرات سرعت بی بعد فلاتر ایرفویل به ازای تغییرات

نسبت فرکانس $\bar{\omega}$: ●، نتایج [۱۱]، نتایج حل عددی معادلات حاصل. ($r_\alpha = ۰/۵$ ، $x_\alpha = ۰/۲۵$ ، $a_h = -۰/۵$ و $\mu = ۱۰۰$)

در این معادلات U^* ، $\bar{\omega}$ ، ξ ، b_n به ترتیب تغییر مکان بی بعد خمین، نسبت فرکانس طبیعی سیستم و سرعت بی بعد است. در اینجا متغیرهای انتگرالی w_1 تا w_4 به صورت زیر تعریف می شوند:

$$w_1 = \int e^{-\varepsilon_1(\tau-\sigma)} \alpha_1(\sigma) d\sigma \quad (۲۹)$$

$$w_2 = \int e^{-\varepsilon_2(\tau-\sigma)} \alpha_2(\sigma) d\sigma \quad (۳۰)$$

$$w_3 = \int e^{-\varepsilon_3(\tau-\sigma)} \xi_1(\sigma) d\sigma \quad (۳۱)$$

$$w_4 = \int e^{-\varepsilon_4(\tau-\sigma)} \xi_2(\sigma) d\sigma \quad (۳۲)$$

ثوابت A_1 تا A_{12} که وابسته به مودهای فرضی هستند، به قرار زیر است:

$$A_1 = \int \left[\frac{d^r f_h(\eta)}{d\eta^r} \right]^\tau \cdot d\eta, \quad (۳۳)$$

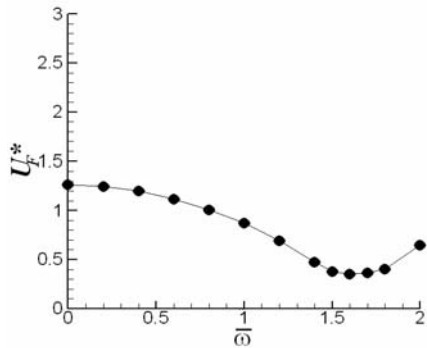
$$\bullet، نتایج [۲]، نتایج حل عددی معادلات حاصل (\bar{\omega} = \frac{\sqrt{2}}{2} و a_h = ۰، r_\alpha = ۰/۵، \mu = ۱۰)$$

$$c_{\alpha} = \frac{\gamma}{\mu} \left[-\psi_{\alpha} \varepsilon_{\alpha} A_{\alpha} + \frac{\tan \Lambda}{AR} \psi_{\alpha} \varepsilon_{\alpha} A_{\alpha} \right],$$

$$c_{\gamma} = \frac{\gamma}{\mu} \left[-\psi_{\gamma} \varepsilon_{\gamma} A_{\gamma} + \frac{\tan \Lambda}{AR} \psi_{\gamma} \varepsilon_{\gamma} A_{\gamma} \right],$$

$$f(\tau) = \frac{\gamma}{\mu} \left[[\psi_{\alpha} \varepsilon_{\alpha} e^{-\varepsilon_{\alpha} \tau} + \psi_{\gamma} \varepsilon_{\gamma} e^{-\varepsilon_{\gamma} \tau}] \right]$$

$$\left(A_{\alpha} \xi_{\alpha}(\cdot) + A_{\gamma} \left(\frac{1}{\gamma} - a_h \right) \alpha_{\gamma}(\cdot) \right],$$



شکل ۱۰ تغییرات سرعت بی بعد فلاتر ایرفویل به ازای تغییرات نسبت فرکانس $\bar{\omega}$: ●، نتایج [۳]، نتایج حل عددی
 $r_{\alpha} = 0.25$ ، $x_{\alpha} = 0.2$ معادلات حاصل (۳)، $\mu = 4$ و $a_h = -0.3$

$$d_{\alpha} = A_{\alpha} \left(\frac{x_{\alpha}}{r_{\alpha}} \right) - \frac{a_h A_{\alpha}}{\mu r_{\alpha}}, d_{\gamma} = A_{\gamma} + \frac{1}{\mu r_{\gamma}} \left(\frac{1}{\gamma} + a_h \right) A_{\gamma},$$

$$d_{\gamma} = \gamma A_{\gamma} \frac{\xi_{\alpha}}{U^*} - \frac{1}{\mu r_{\gamma}} \left[\left(1 + \gamma a_h \right) \left(\frac{1}{\gamma} - a_h \right) A_{\gamma} (\psi_{\alpha} - \psi_{\gamma}) - \left(\frac{1}{\gamma} - a_h \right) A_{\gamma} - \left(\frac{1}{\gamma} + a_h \right) \frac{\tan \Lambda}{AR} A_{\gamma} \right],$$

$$d_{\alpha} = -\frac{1}{\mu r_{\alpha}} \left[\left(\frac{1}{\gamma} + a_h \right) A_{\gamma} [\psi_{\alpha} - \psi_{\gamma}] + \left(1 + \gamma a_h \right) \left(\frac{1}{\gamma} - a_h \right) A_{\gamma} [\psi_{\alpha} \varepsilon_{\alpha} + \psi_{\gamma} \varepsilon_{\gamma}] + \frac{\tan \Lambda}{AR} \left(\frac{1}{\gamma} - a_h \right) (1 + \gamma a_h) A_{\gamma} [\psi_{\alpha} - \psi_{\gamma}] + \frac{\tan \Lambda}{\gamma AR} A_{\gamma} [\gamma a_h - 1] - \left(\frac{1}{\gamma} + a_h \right) \left(\frac{\tan \Lambda}{AR} \right)^2 A_{\gamma} \right],$$

$$d_{\gamma} = -\frac{1}{\mu r_{\gamma}} \left[\left(1 + \gamma a_h \right) A_{\gamma} [\psi_{\alpha} - \psi_{\gamma}] + a_h \frac{\tan \Lambda}{AR} A_{\gamma} \right],$$

در این تحقیق از پارامتر بی بعد AR که به صورت زیر تعریف می شود، استفاده شده است:

$$AR = \frac{S}{b_n} \quad (34)$$

همچنین ضرایب c_{α} تا c_{γ} و d_{α} تا d_{γ} و توابع $f(\tau)$ و $g(\tau)$ با استفاده از روابط ذیل به دست می آیند:

$$(35)$$

$$c_{\alpha} = A_{\alpha} + \frac{A_{\gamma}}{\mu}, c_{\gamma} = A_{\gamma} x_{\alpha} - \frac{a_h A_{\alpha}}{\mu},$$

$$c_{\gamma} = \gamma A_{\gamma} \xi_{\alpha} \left(\frac{\bar{\omega}}{U^*} \right) + \frac{\gamma}{\mu} \left[A_{\gamma} (1 - \psi_{\alpha} - \psi_{\gamma}) + \frac{\tan \Lambda}{AR} A_{\gamma} \right],$$

$$c_{\alpha} = \frac{1}{\mu} \left[\gamma \left(\frac{1}{\gamma} - a_h \right) A_{\alpha} (1 - \psi_{\alpha} - \psi_{\gamma}) - a_h \frac{\tan \Lambda}{AR} A_{\alpha} + A_{\alpha} \right],$$

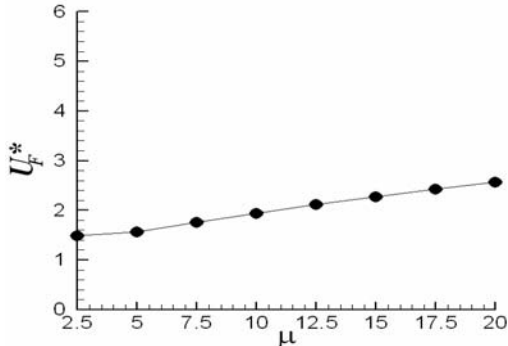
$$c_{\gamma} = \frac{1}{\mu} \left[\gamma A_{\gamma} (\psi_{\alpha} \varepsilon_{\alpha} + \psi_{\gamma} \varepsilon_{\gamma}) + \frac{\tan \Lambda}{AR} \times A_{\gamma} (1 - \psi_{\alpha} - \psi_{\gamma}) + \left(\frac{\tan \Lambda}{AR} \right)^2 A_{\gamma} \right],$$

$$c_{\alpha} = \frac{1}{\mu} \left[\gamma A_{\alpha} (1 - \psi_{\alpha} - \psi_{\gamma}) + \gamma \left(\frac{1}{\gamma} - a_h \right) \times \left[A_{\alpha} (\psi_{\alpha} \varepsilon_{\alpha} + \psi_{\gamma} \varepsilon_{\gamma}) + \frac{\tan \Lambda}{AR} A_{\gamma} (1 - \psi_{\alpha} - \psi_{\gamma}) \right] + \frac{\tan \Lambda}{AR} A_{\alpha} - a_h \left(\frac{\tan \Lambda}{AR} \right)^2 A_{\alpha} \right],$$

$$c_{\gamma} = \frac{\gamma}{\mu} \left[\psi_{\alpha} \varepsilon_{\alpha} A_{\alpha} \left(1 - \left(\frac{1}{\gamma} - a_h \right) \varepsilon_{\alpha} \right) + \frac{\tan \Lambda}{AR} \psi_{\alpha} \varepsilon_{\alpha} \left(\frac{1}{\gamma} - a_h \right) A_{\alpha} \right],$$

$$c_{\gamma} = \frac{\gamma}{\mu} \left[\psi_{\gamma} \varepsilon_{\gamma} A_{\gamma} \left(1 - \left(\frac{1}{\gamma} - a_h \right) \varepsilon_{\gamma} \right) + \frac{\tan \Lambda}{AR} \psi_{\gamma} \varepsilon_{\gamma} \left(\frac{1}{\gamma} - a_h \right) A_{\gamma} \right],$$

(۳۶)



شکل ۱۱ تغییرات سرعت بی‌بعد فلاتر ایرفویل بهازای تغییرات μ (نسبت جرمی ایرفویل به هوای واحد طول): ●، نتایج [۲]، نتایج حل عددی معادلات حاصل [۳]

$$(\bar{\omega} = \sqrt{0.1} \text{ و } a_h = -0.4, r_\alpha = 0.25)$$

دستگاه معادلات دیفرانسیل حاکم بر سیستم در حوزه زمان را که به صورت معادلات (۲۷) و (۲۸) ارائه شده می‌توان به صورت دستگاه معادلات دیفرانسیل معمولی مرتبه اول زیر نوشت [۵]:

$$\frac{dX}{d\tau} = F(x, \tau) \quad (37)$$

که در آن:

$$X = [x_1 \ x_2 \ x_3 \ x_4 \ x_5 \ x_6 \ x_7 \ x_8]^T \quad (38)$$

$$= [\alpha \ \alpha' \ \xi \ \xi' \ w \ w' \ w_r \ w_i]^T$$

برای حل عددی به این روش، به شرایط اولیه نیاز است. از معادلات (۲۹) تا (۳۲) به راحتی می‌توان نتیجه گرفت:

$$\tau = 0 \Rightarrow w_1 = w_2 = w_r = w_i = 0 \quad (39)$$

بنابراین، با دانستن $(\alpha(0), \alpha'(0), \xi(0), \xi'(0), w(0), w'(0), w_r(0), w_i(0))$ - که به ترتیب مقادیر وابسته به زمان تغییر مکان و سرعت پیچش، تغییر مکان و سرعت خمس اولیه است - معادله (۳۷) را می‌توان به روش رونگ - کوتای مرتبه چهار حل

$$d_s = -\frac{1}{\mu r_\alpha} \left[(\gamma + 2a_h) A_s [\psi_s \varepsilon_s + \psi_r \varepsilon_r] + \frac{\tan \Lambda}{AR} (\gamma + 2a_h) \times A_s [\gamma - \psi_s - \psi_r] + a_h \left(\frac{\tan \Lambda}{AR} \right)^2 A_{sr} \right],$$

$$d_v = -\frac{1}{\mu r_\alpha} \left[(\gamma + 2a_h) \psi_s \varepsilon_s \left(A_s \left(\gamma - \left(\frac{1}{\gamma} - a_h \right) \varepsilon_s \right) + \frac{\tan \Lambda}{AR} \left(\frac{1}{\gamma} - a_h \right) A_{sr} \right) \right],$$

$$d_\lambda = \frac{1}{\mu r_\alpha} \left[(\gamma + 2a_h) \psi_r \varepsilon_r \left(\varepsilon_s A_s - \frac{\tan \Lambda}{AR} A_{sr} \right) \right],$$

$$d_i = \frac{1}{\mu r_\alpha} \left[(\gamma + 2a_h) \psi_r \varepsilon_r \left(\varepsilon_s A_s - \frac{\tan \Lambda}{AR} A_{sr} \right) \right],$$

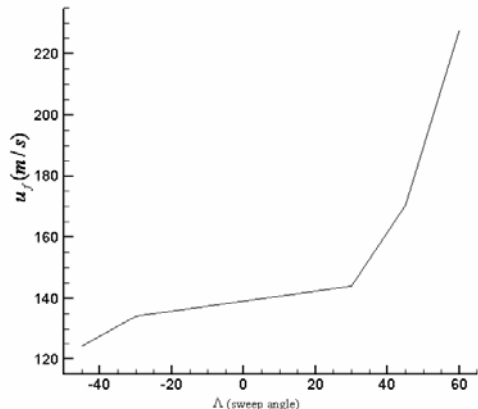
$$g(\tau) = -\frac{(\gamma + 2a_h)}{\mu r_\alpha} \left[\left(\psi_s \varepsilon_s e^{-\varepsilon_s \tau} + \psi_r \varepsilon_r e^{-\varepsilon_r \tau} \right) \times \left(A_s \xi_s(\cdot) + A_s \left(\frac{1}{\gamma} - a_h \right) \alpha_s(\cdot) \right) \right],$$

این ضرایب، ثابت‌های معادلات (۲۷) و (۲۸) هستند که وابسته‌اند به متغیرهای بی‌بعد بال نظیر نسبت جرمی بال به هوای واحد طول بال (μ)، فاصله بی‌بعد محور الاستیک از وسط وتر (a_h)، شعاع زیراسیون بال حول محور الاستیک (r_α) و همچنین ثوابت A_s تا A_{sr} و ثوابت تابع واگنر ($\phi(\tau)$). تابع $f(\tau)$ و $g(\tau)$ وابسته‌اند به شرایط اولیه، زمان بدون بعد و ثوابت تابع واگنر. ξ و α به ترتیب نسبت میرایی بی‌بعد در درجات آزادی خمس و پیچش است.

۳- روش عددی رونگ - کوتای مرتبه چهار

روشی که در این مقاله برای حل معادلات (۲۷) و (۲۸) به کار گرفته شده، روش استاندارد رونگ - کوتای مرتبه چهار است که در حل معادلات دیفرانسیل معمولی دقت بسیار خوبی ($O(\Delta\tau^4)$) دارد.

است. در شکل ۳ به خلاف شکل ۴، دامنه نوسان با گذشت زمان به صفر میل می‌کند.



شکل ۱۲ تغییرات سرعت فلاتر به ازای تغییرات زاویه پسگرایی برای شرایط: $x_\alpha = 0/25$, $\bar{\omega} = 0/2$, $\mu = 5$; $a_h = -0.5$, $r_\alpha = 0.5$, $AR = 20$

در شکل ۵ تغییر مکان خمی یک گونه از بالهای مورد مطالعه، پیش از سرعت واگرایی آن نشان داده شده است؛ در این سرعت دامنه نوسانات به صفر میل می‌کند. در سرعنایی بالاتر از مرز ناپایداری، ممکن است پدیده واگرایی بروز نماید؛ رفتاری که برای مثال برای بال ۵۰A-۲ در شکل ۶ مشاهده می‌شود. از طرفی با صفر قرار دادن زاویه پسگرایی Λ و با در نظر گرفتن ثوابت A_h برابر واحد، معادلات به دست آمده ((۲۷) و (۲۸)) در این مقاله، به معادلات حاکم بر ایرفویل با دو درجه آزادی تبدیل می‌شود. لذا تحلیل آیروالاستیک ایرفویل و مقایسه نتایج حاصل از آن با نتایج سایر مراجع می‌تواند به عنوان معیار مناسبی برای اعتبارسنجی معادلات حاصل در نظر گرفته شود. در شکل‌های ۷ تا ۱۱، نتایج [۲]، [۳] و [۱۱] با نتایج حاصل از حل عددی معادلات (۲۷) و (۲۸) مقایسه شده است. U_F^* سرعت بی‌بعد فلاتر است.

کرد. با حل این معادلات، مقادیر وابسته به زمان تغییر مکانیای پیچش و خمی به دست می‌آیند. با استفاده از معادلات (۸) و (۹) و معادلات مودهای فرضی ارتعاشی یعنی معادلات (۶) و (۷)، مقادیر کلی تغییر مکان پیچش و خمی را برای سطح مقطع دلخواه می‌توان به دست آورد و نمودار آنها را بر حسب زمان بی‌بعد t ترسیم کرد.

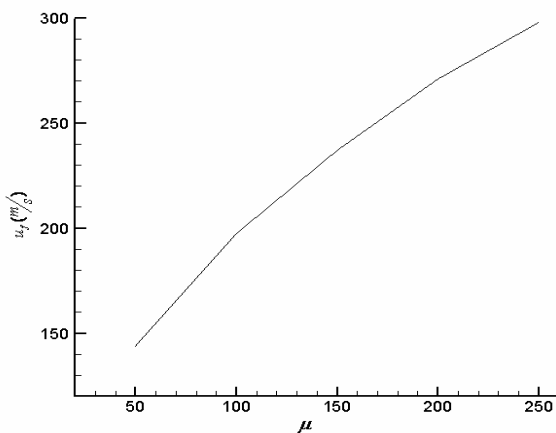
۴- نتایج

در جدول ۱ مشخصات چهار بال مورد بررسی و در جدول ۲ نتایج روش به کار گرفته شده برای معادلات به دست آمده در این تحقیق (U_C)، نتایج تجربی [۸] (U_e) و همچنین درصد خطأ نسبت به نتایج تجربی ارائه شده است. در بالهای مذکور نسبت میرایی بی‌بعد برابر صفر در نظر گرفته و از میرایی صرف نظر شده است.

جدول ۱ مشخصات هندسی بالهای مورد مطالعه [۸]

Case	۲۲'	30B-2	40C	50A-2
Λ (deg)	۱۵	۳۰	۰	-۱۰
f_h (Hz)	۳۱	۱۲/۱	۹	۱۰
f_α (Hz)	۶۱	۸۸/۸	۵۸/۲	۱۳۷
S (m)	۰/۴۲۱۶	۰/۶۲۹۹	۰/۶۲۹۹	۰/۶۲۹۹
b_n (m)	۰/۰۹۷۸	۰/۰۵۰۹	۰/۰۵۰۹	۰/۰۵۰۹
a_h	-۰/۱۵۲	-۰/۲	-۰/۲۳	-۰/۳۴
x_α	۰/۱۲۸	۰/۱۲	۰/۱۵	۰/۳۴
r_α	۰/۲۹۲	۰/۲۷۷	۰/۲۸۷	۰/۳۵۲
μ	۲/۱۹	۳۷/۷	۸/۷۴	۸/۰

در جدول فوق f_h و f_α نشانگر فرکانس طبیعی کوپل نشده سیستم به ترتیب در درجات آزادی خمی و پیچش است. همچنین نوسانات خمی و پیچشی دو بال مورد بررسی در جدول ۱ در کمی بالاتر از سرعت فلاتر و کمی پایین‌تر از سرعت فلاتر در شکلهای ۳ تا ۶ نشان داده شده



شکل ۱۴ تغییرات سرعت فلاتر بال به ازای تغییرات μ برای:
 $r_\alpha = 0.5, AR = 2, a_h = -0.5, \bar{\omega} = 0.2, \Lambda = 3,$

با دقت در معادلات حاصل می‌توان دریافت که با کمی ساده‌سازی می‌توان معادلات آیروالاستیک حاکم بر ایرفویل با دو درجه آزادی در جریان تراکم ناپذیر را به دست آورد. با توجه به این، تحلیل آیروالاستیک ایرفویل را می‌توان به عنوان حالت خاصی از نتایج حاصل از معادلات ارائه شده در این مقاله محسوب کرد. در این رابطه در شکل‌های ۷ تا ۱۱ نتایج حاصل از این معادلات برای ایرفویل با دو درجه آزادی با مشخصه‌های فیزیکی و هندسی مختلف با نتایج [۲]، [۳] و [۱۱] – که با استفاده از روش‌های مرسوم در حوزه فرانکنس، نظیر روش‌های $U-g$ و $P-k$ حاصل شده – مقایسه شده است. همان‌طور که در نمودارهای مذکور مشاهده می‌شود، نتایج به دست آمده تطابق خوبی با نتایج دو مرتع بالا دارد.

با به دست آوردن سرعت فلاتر برای بال پسگرا مشاهده می‌شود که با افزایش زاویه پسگرایی در بال ($\Lambda > 0$)، سرعت فلاتر افزایش می‌یابد. این در حالی است که در بال پیشگرا ($\Lambda < 0$)، سرعت فلاتر با افزایش قدر مطلق زاویه پسگرایی یا کاهش می‌یابد (شکل ۱۲).

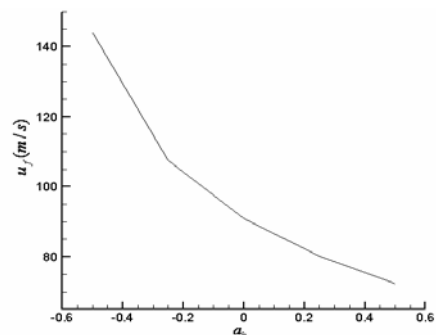
جدول ۲ مقایسه نتایج تئوری و تجربی

۵۰.A-۲	۴۰.C	۳۰.B-۲	۲۲'	Case
۴۶۹۳۹	۳۳۶۶۲	۱۰۵/۰	۴۶۷۴۹	$U_e (m/s)$
۴۵/۰۴۴	۳۳۵۴۶	۱۰۳/۹۰۸	۴۶۷۶۵۳	$U_C (m/s)$
-۴/۰۴	-۰/۰۳۵	-۱/۰۹	+۰/۰۳۵	درصد خطأ

از سوی دیگر در شکل‌های ۱۲ تا ۱۶ تأثیر عوامل مختلفی مانند زاویه پسگرایی و متغیرهای بی‌بعد بر سرعت فلاتر مورد بررسی قرار گرفته است. در این بررسی یکی از پارامترها متغیر و بقیه ثابت در نظر گرفته شده تا تأثیر آن بر سرعت ناپایداری بال مشخص شود. همچنین در اینجا لازم است ذکر شود که فواصل بی‌بعد a_h و x_α هنگامی مثبت است که به طرف لبه فرار مقطع بال اندازه‌گیری شوند (شکل ۲).

۵- بحث و نتیجه‌گیری

با توجه به نتایج ارائه شده در جدول ۲ می‌توان دریافت که نتایج حاصل از حل در حوزه زمان و نتایج تجربی، تطابق بسیار خوبی دارند که این نشان‌دهنده تطابق مناسب مدل ریاضی ارائه شده با فیزیک مسئله است. همچنین یکنواختی بال پسگرا – که ویژه تئوری نوارهای باریک است – در دقت جوابها تأثیر بهسزایی دارد.



شکل ۱۳ تغییرات سرعت فلاتر بال به ازای تغییرات فاصله بی‌بعد محور الاستیک از وسط وتر بال (a_h) برای شرایط:
 $x_\alpha = 0.25, \bar{\omega} = 0.2, \mu = 5, \Lambda = 3, AR = 2.$

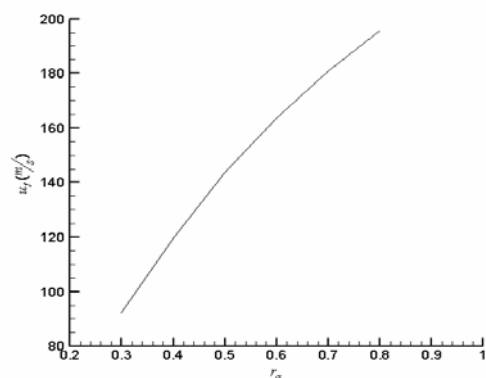
محل محور الاستيک به لبه فرار نزديکتر باشد، سرعت فلاطرا کاهش می‌يابد و بعکس هر چه به لبه حمله نزديکتر بوده و در جلوی مرکز آيروديناميكي قرار گيرد، سيسنتم پايدارتر شود. به طور خلاصه با بررسی شكل‌های ۵ تا ۱۶ می‌توان به نتایج مهمی به شرح ذيل دست یافت:

- با افزایش زاویه پسگرایی، سرعت فلاطرا افزایش می‌يابد.
- با افزایش a_h ، سرعت فلاطرا کاهش می‌يابد.
- با افزایش μ ، سرعت فلاطرا افزایش می‌يابد، اما روند اين افزایش در ابتدا سريعتر بوده و با افزایش بيشتر μ ، اين روند کاهش می‌يابد.
- در رابطه با تغييرات u_f در برابر افزایش x_α نمی‌توان اظهارنظر دققی ارائه کرد و روند مشخصی در تمامی موارد حاكم نیست. در برخی موارد مانند شكل ۹ ابتدا کاهش و سپس افزایش سرعت فلاطرا مشاهده می‌شود و در برخی مانند شكل ۱۶، کاهش آن را مشاهده می‌کنیم. مواردی را نيز می‌توان یافت که اين روند در آنها معکوس است.
- با افزایش نسبت فركانس در بيشتر موارد مانند شكل‌های ۸ و ۱۰، ابتدا کاهش و رسیدن آن به مقدار کمينه و سپس افزایش آن را مشاهده می‌کنیم.
- با افزایش شعاع ژيراسيون حول محور الاستيک (r_α)، سرعت فلاطرا افزایش می‌يابد. آهنگ اين افزایش، با افزایش r_α کاهش می‌يابد.

نتایج فوق برای طراحی بهينه بال، از ديد بالا بردن سرعت فلاطرا بال باید مدنظر قرار گيرند. به اين منظور باید پaramترهای بی بعد بال به ترتیبی انتخاب شود که a_h کمينه و همچنین μ و r_α بيشينه باشند.

۶- منابع

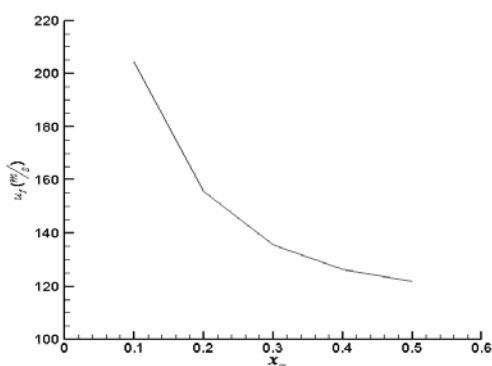
- [1] Theodorsen T.; "General Theory of Aerodynamic Instability and the



شكل ۱۵ تغييرات سرعت فلاطرا بال به ازاي تغييرات شعاع

ژيراسيون (r_α) در: $x_\alpha = 0/25$, $\bar{\omega} = 0/2$, $\Lambda = 30^\circ$

$$AR = 2; a_h = -0.5, \mu = 50$$



شكل ۱۶ تغييرات سرعت فلاطرا بال به ازاي تغييرات x_α

در: $r_\alpha = 0/5$, $\bar{\omega} = 0/2$, $\Lambda = 30^\circ$, $AR = 2$, $a_h = -0.5$, $\mu = 50$

با توجه به شكل‌های ۱۴ و ۱۵ می‌توان نتيجه گرفت که با افزایش r_α و μ ، سرعت فلاطرا u_f افزایش می‌يابد و نوعی تأثير پايدارکننده بر سيسنتم دارند. از بررسی تأثير افزایش μ بر سرعت فلاطرا بال می‌توان نتيجه گرفت که امكان رخداد فلاطرا بال در ارتفاعات پروازی پاين (در هنگام نشستن و برخاستن هوائيما) بيشتر است؛ در حالی که در شكل ۱۳ مشاهده می‌شود که متغير a_h نوعی تأثير ناپايدارکننده بر سيسنتم دارد و با افزایش اين متغير، سرعت فلاطرا u_f کاهش می‌يابد. هر چه

- [8] armby J. G., Cunningham H. J., Garrick I.E.; “Study of effect of sweep on the flutter of cantilever wings”, NACA TN-2121, 1950.
- [۹] قدیری بهزاد، اسلامی وحید؛ ((تعیین سرعت ناپایداری بال هواییما به روش حل در حوزه زمان))؛ چهاردهمین کنفرانس سالانه و دهمین کنفرانس بین‌المللی مهندسی مکانیک، اصفهان، دانشگاه صنعتی اصفهان؛ ۱۳۸۵.
- [10] Ghadiri B., Razi M.; “Limit cycle oscillations of rectangular cantilever wings containing cubic nonlinearity in an incompressible flow”, Journal of Fluids and Structures; Vol. 23, No. 4, 2007, pp. 665-680.
- [11] Liu, L., Wong, Y. S., Lee, B. H. K; “Application of the center manifold theory in nonlinear aeroelasticity”, Journal of Sound and Vibration; Vol. 234, 2000, pp. 641-659.
- Mechanism of Flutter”, T. R. No. 496 , N. A. C. A, 1935.
- [2] Hodges D. H., Pierce G. A.; “Introduction to Structural Dynamics and Aeroelasticity”, Cambridge University Press, 2002.
- [3] Bisplinghoff R. L., Ashley H.; “Principles of aeroelasticity”, Dover Publication, 1962.
- [4] Fung Y. C.; “An Introduction to the Theory of Aeroelasticity”, NewYork, Dover Publications, 1969.
- [5] Lee B. H. K., Price S. J., Wong Y. C.; “Nonlinear aeroelastic analysis of airfoils bifurcation and chaos”, Progress in Aerospace Sciences, Vol. 35, No. 3, 1999, pp. 205-334.
- [۶] قدیری بهزاد، رازی مانی؛ ((تحلیل آبروالاستیک خطی ایرفویل با دو درجه آزادی در دو حوزه فرکانس و زمان در جریان تراکم‌ناپذیر))؛ چهاردهمین کنفرانس سالانه و دهمین کنفرانس بین‌المللی مهندسی مکانیک، اصفهان، دانشگاه صنعتی اصفهان؛ ۱۳۸۵.
- [7] Poirel, D., Price S. J.; “Random binary (coalescence) flutter of a two-dimensional linear airfoil”, Journal of Fluids and Structures; Vol. 18, 2003, pp. 23-42.

